

舞鶴工業高等専門学校 正会員 武田八郎

1. まえがき 腹板高さが直線的に変化する変断面プレートガーダーが、主としてせん断力を受ける場合の載荷実験結果については先に報告した^{1), 2), 3)}。この種の問題については、Davia and Mandal⁴⁾が、載荷実験結果といむるモデル解析による強度算定法を、またFally⁵⁾がやはりモデル解析による強度算定法を示している。今回、従来の載荷実験結果を参考にモデルを設定し、簡易なせん断強度算定法を求め、過去の載荷実験結果と比較した。さらに、中間補剛柱作用力についても考察を行ったので報告する。

2. 解析モデル 座屈後の腹板のせん断強度⁶⁾、座屈時の腹板のせん断強度と、張力場によって負担されるせん断強度の知として表わされるものとする。

i) 梯形板の座屈荷重 座屈時の腹板のせん断強度を求めうためには、梯形腹板パネルの座屈荷重の算定が必要であるが、このために、図-1のように各辺に沿う力を受ける平面応力場の梯形板を考える。たわみに関する境界条件は、Y=0 および X で単純支持、他の二辺については単純支持または固定支持とする。応力算定には一定歪要素を、座屈解析にはす頂点のたわみヒンジの回転変位を自由度にとった三角形要素を用いた有限要素法⁶⁾により計算を行ったが、収束が遅いため、3種類の分割に対する値を求めて、外挿法⁷⁾によつて収束値を推定した。傾斜辺の角度βは、5°, 10°, 15° の3種類とした。a=150 cm, d_m = 150 cm (腹板平均断面積 d=1), 板厚 1 cm (腹板平均幅厚比=1.50) に対する全要素の平均せん断応力を求めたのが、表-1 である。さらに、腹板平均幅厚比を使って座屈係数を求めた。この値と、平均腹板高さを有する長方形板のせん断座屈係数⁸⁾とを比較すると、フランジ傾斜角によりた/たの値が変化する事が分る。

ii) 張力場モデル 過去の載荷実験結果から、梯形パネルの上辺の三角形部分では張力場が他の部分に比べて未発達である事を考えて、Patayen⁹⁾の張力場分布の仮定を図-2 のようにパネル下辺の長方形部分に準用した。すなわち、張力場分布に関する限り、あたかも傾斜フランジが AA' の位置にあるかのように想定した。図-2 のように、破壊パネルの中間補剛材附近のモーメント断面で切断し、切断後のパネルにクリッピング条件を適用すると、作用せん断力 P/2 は次のように求められる。

$$\frac{P}{2} = \frac{\sigma_t \cdot t}{d_m \cos \beta - e \sin \phi} \left[S \left(\frac{s}{2} \sin \beta + d_m \cos \beta \sin \phi \right) + P a \sin \phi \left\{ \left(S + \frac{a}{2} \sin \phi \right) \sin \beta + d_m \cos \beta \sin \phi \right\} \right] \quad (1)$$

ただし、 σ_t は張力場応力、t は腹板厚、a はパネル長、 d_m は最大パネル高、 ϕ は張力場の傾斜角、e はモーメント断面から荷重作用点までの距離、 P は算価張力場の係数、S は張力場の幅で d_m を最小パネル高とすれば $S = d_m \cos \phi - a \sin \phi$ である。

(1)の算定に当て、Basler⁹⁾が示した近似降伏条件条件式と von Mises の厳密降伏条件式を使用した両場合を考えると、 ϕ は $P/2$ を最大にする条件より、次のように決定される。

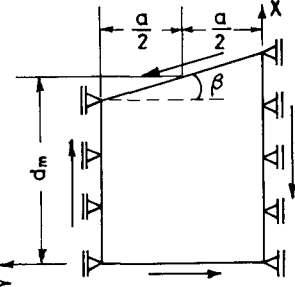


Table 1 Buckling Loads

β	S.S.	Fixed
5°	T_{mean}	712.5
	k	11.28
10°	T_{mean}	655.6
	k	10.53
15°	T_{mean}	662.7
	k	9.63

S.S. : Simply Supported

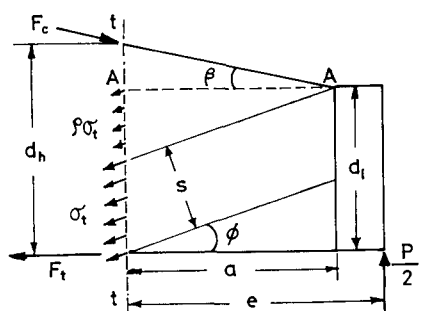
 T_{mean} : kg/cm²

Fig. 2

a) 近似降伏条件使用 $\tan z\phi = \frac{2de\sin\beta - 2(1-\rho)\alpha de\sin\beta}{d^2\sin\beta - \alpha^2(1-\rho)\sin\beta + 2(1-\rho)\alpha de\cos\beta} \quad \dots \dots \dots (2)$

b) 厳密降伏条件使用 $\left\{ (1-\rho)\alpha de\cos\beta + \frac{de^2}{2}\sin\beta - \frac{\alpha^2}{2}(1-\rho)\sin\beta \right\} \tan z\phi = de\sin\beta - (1-\rho)\alpha de\sin\beta$
 $- \frac{3(\tau_{cr}/\sigma_y)}{\sqrt{1+(\tau_{cr}/\sigma_y)^2[(1-5\sin^2\phi)^2-3]}} \left[S\left(\frac{3}{2}\sin\beta + da\cos\beta\sin\phi + \rho\alpha\sin\phi(S+\frac{\alpha}{2}\sin\phi)\sin\beta + da\cos\beta\sin\phi\right) \right] \quad \dots \dots \dots (3)$

ただし、 σ_y は降伏応力、 τ_{cr} はせん断屈屈応力である。

3. 実験値との比較 2.i) から b) の値はフランジ傾斜角により変化するが、ここでは簡単のために、座屈時の梯形腹板ハネルのせん断強度を求めるのに、平均ハネル高さを有する長方形ハネルのせん断屈屈強度の値を使用する。ただし、境界条件は全周単純支持とした。これと、式(2)または(3)を式(1)に適用して、せん断強度の予測

Table 2 Comparisons of Tests with Various Theories (tons)

Girder Theory	Girder								(Theory Exp. mean)	Standard deviation
	TS-1 ¹⁾	TS-2 ²⁾	TS-3 ²⁾	TS-4 ²⁾	10A ⁴⁾	20A ⁴⁾	60A ⁴⁾	70A ⁴⁾		
present	Approx.	19.98	22.63	22.8	20.13	12.84	17.8	16.9	26.01	0.98
	Exact	20.32	23.12	23.14	20.51	13.32	18.44	17.58	27.42	1.01
Davis-Mandal		23.0	25.3	23.6	21.9	12.95	15.7	17.85	23.76	1.00
Falby		10.72	9.1	10.4	9.59	3.78	3.96	5.28	7.30	0.36
Experiment		20.55	22.5	24.8	24.26	12.75	14.68	19.37	25.70	

た変断面アーレートガーターの載荷実験について計算した結果を表-2に示す。なお、 $\rho = 1/2$ としている。

この表には併せて、文献4), 5) の方法による計算値も示してある。近似降伏条件式を用いた値は、パラメータ $\rho_2 \sigma_{t2}$ もがくべき大きいものの比較的の良い実験値と一致している。厳密降伏条件式を用いた値および Davis & Mandal による値も良好な一致が見られるが、繰り返し計算が必要となるのでやや繁雑であり、近似降伏条件式を用いる方法は繰り返し計算が不要で、簡便な点では有利である。Falby による値は実験値とかけ離れている。

4. 中間補剛材作用力 図-3に示すように、主としてせん断力を受ける階接ハネルに、独立して張力場が発達するものがある。図の切断後のハネルにクリッピング条件を適用すると、図の位置の中間補剛材作用力 F_S は次のようになめられる。

$$F_S = \frac{1}{\cos\beta} [f_{t2} \cdot t \cdot s_2 \cdot \sin(\phi_2 + \beta) - f_{t1} \cdot t \cdot s_1 \cdot \sin(\phi_1 + \beta) + 2\rho_2 f_{t2} \cdot t \cdot a_2 \cdot \sin\phi_2 \cdot \sin(\phi_2 + \beta)] \quad \dots \dots \dots (4)$$

ただし、添字1, 2はそれそれぞれハネルI, IIに応する。式(4)を用いて最大補剛材力と β との関係を求めると、図-4に示すように直線的関係にある。図には、文献9)によって求めた、梯形腹板ハネルを平均腹板高さを有する長方形ハネルに置換した時の最大補剛材力を破線で示した。

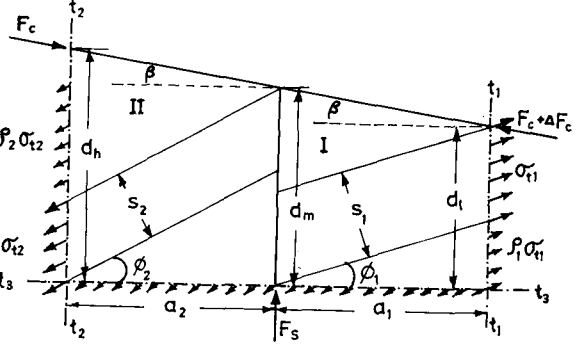


Fig. 3

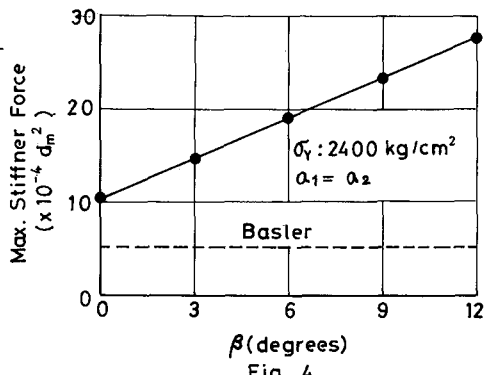


Fig. 4

[参考文献] 1) 武田三上: 実断面アーレートガーターのせん断耐力試験、第25回土木学会年譲不既用集、I-121、1980。 2) 武田三上: 実断面アーレートガーターのせん断強度についての二、三の考察、第37回土木学会年譲不既用集、I-187、1982。 3) 武田三上: 鋼直補剛材を有する実断面アーレートガーターのせん断耐力試験、不常会議昭和58年度関西支部年譲研究会、I-37、1983。 4) David G. and S.N. Mandal: The Collapse Behaviour of Tapered Plate Girders Loaded within the Taper, Proc. Instn. Civ. Engrs., Part 2, Vol. 67, 1979. 5) Falby W.E. and G.C. Lee: Tension-Field Design of Tapered Webs, AISC. Engineering Journal, Vol. 13, No. 1, 1976. 6) 谷賀信: 構造設計の解説、技報堂出版 7) 三上米次: 斜伸筋に対する差分角半・有限要素法による精度改良、第30回土木学会年譲機械学集、I-14、1978。 8) Outeirope A. and C. Chern: Ultimate Strength of Plate Girders under Shear, Fracture Eng. Laboratory report No. 3287, Lehigh Univ., 1969. 9) Basler K.: Strength of Plate Girders in Shear, Journal of the Structural Division, ASCE, Vol. 87, ST7, 1961.